

図-3 $l/d=5$ 側壁橋軸方向応力 (σ_x/E)

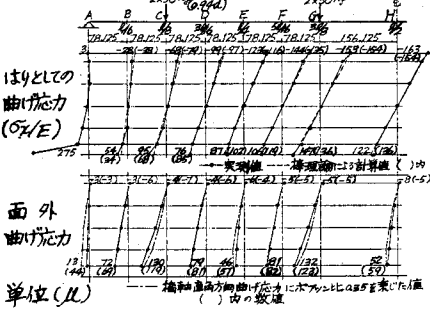


図-5 $l/d=2$ 側壁橋軸方向応力

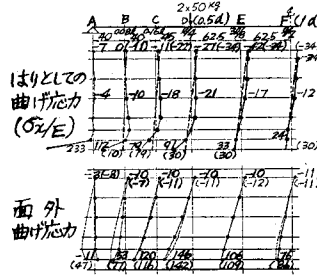
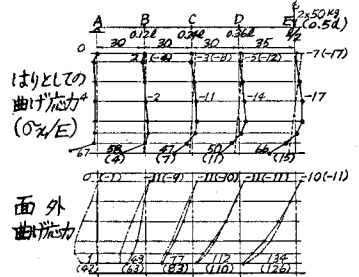


図-6 $l/d=1$ 側壁橋軸方向応力



プビーム的性状)が目立つようになり、それ以外ではほぼ線形分布で構理論の計算値にあっている。この傾向は Walter Schlee¹⁾ 他のシヤイベ解析結果と定性的にあっている。③ 面外曲げ応力は従来の設計とは無視しているが、側壁が上床版と下床版で弾性的に支持された一方スラブとしての挙動を考えると、橋軸方向(一方スラブの幅方向)に一方スラブの横方向曲げモーメント(M_y)による応力に相当する面外曲げ応力が生ずることも理解できる。この応力は構理論では計算できないが、等分布荷重時 l/d が小さい一方スラブの M_y がほぼ $V \cdot M_x$ になることを考えて橋軸直角方向の曲げ応力実測値に $V=0.35$ を乗じた値をプロットした。実測値との比較から支点付近を除きこの考え方が妥当であることがわかる。④ l/d が小さいとやはりとしての曲げ応力よりも面外曲げ応力の比重が増してくる。

2) 側壁せん断応力(図-7) ① やはりとしての曲げせん断応力のほかにスラブとしてのねじりせん断応力が生じている。② 曲げせん断応力は支点から $0.3d$ の範囲でとくに構理論の計算値と異なっている(他の l/d も同じ)。最大値は支点上ではなく支点から $0.1d \sim 0.3d$ で生じている。 $l/d=3$ 以上の場合実測値の最大値は支点や荷重点の近くを除き構理論の計算値にほぼ等しく、 $l/d=2$ 以下では実測値が計算値より大きい、この傾向はシヤイベ解の結果にあっている。③ ねじりせん断応力は床版と側壁の接合部で大きい。

3) 側壁の軸応力(図-8~図-9) 下床版載荷の軸応力(図-8)は上床版載荷の軸応力(図-9)と異なり支点から約 $0.4d$ 付近から引張応力状態になる。また両載荷時とも支付近では大きな軸圧縮応力が生じている。

4) 橋軸直角方向曲げ応力(図-10) $l/d=3$ について荷重点の曲げ応力の実測値と側壁下端にヒンジのある箱ラーメンとしての計算値と比較した。この場合有効幅を学会RC標示の一方スラブの規定により求めたが、ほぼ実測値を説明できようである。

最後に 実験計画・結果の解析をご指導いただいた東大松本教授、西岡助教、データ解析にご協力いただいた五宅裕典氏に感謝します。

1) Walter Schlee, Ein einfaches Verfahren zur Lösung von Scheibenaufgaben (B.u.S., 1964. 3, 4, 5)

図-4 $l/d=3$ 側壁橋軸方向応力

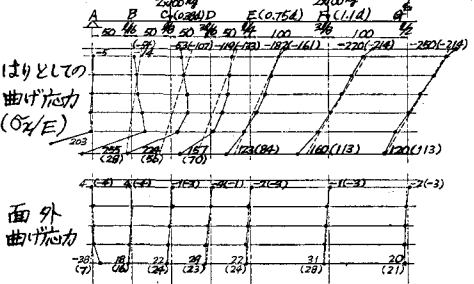


図-7 $l/d=3$ 側壁せん断応力 (τ_{xy}/E)

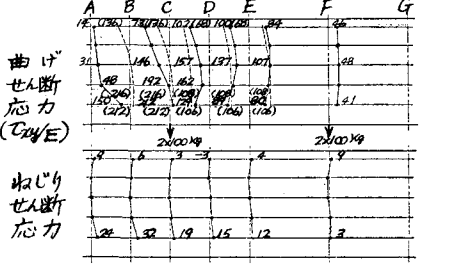


図-8 $l/d=3$ 側壁軸応力 (σ_x/E)

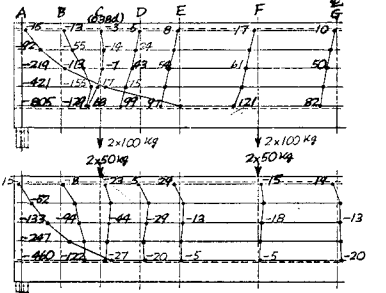


図-9 $l/d=3$ 上床版載荷 側壁軸応力 (σ_x/E)

図-10 $l/d=3$ 橋軸直角方向曲げ応力 (M_y/E)

